

九州大学工学部 正会員 粟谷陽一
 九州大学工学部 正会員 古本勝弘
 九州大学大学院 学生員 ○島田晋

§1. まえがき 河川における拡散現象に一次元の拡散方程式を適用する場合には、流れ方向の拡散係数とし、乱流拡散係数よりも大きな、かけの拡散係数を用いることが必要となる。この報告は、潮汐の作用による周期的流れを受ける河川感潮部で生じる乱流拡散現象に注目し、そのみかけの拡散係数を算定しようとするものである。前回(昭和43年度年次学術講演会、昭和43年度西部支部研究発表会)までは、円管内の周期的流れによる乱流拡散について報告して来たが、今回はそれを開水路にまで拡張し、水深方向の拡散を考えたものと、川幅方向の拡散を考えたものについて、みかけの拡散係数を求める近似式を導いている。計算方法としては、G.I. Taylor の理論¹⁾を基礎に、J.W. Elder の理論²⁾(水深方向の拡散を考慮)の拡張を行ない、次に H.B. Fischer の理論³⁾(川幅方向の拡散を考慮)を応用している。

§2. 水深方向の拡散を考えたときの拡散係数 流れ方向に x 軸、水深方向に z 軸をとり、水深を h とする。流れの横断方向(y 方向)については一様な場合を考え、空間的には x と z の二次元の現象として取扱う。任意点の流速 $u(z,t) = u(z)$ を定常流の場合の流速分布関数 $f(z)$ を用いて次のように表わす。

$$u(z) = \frac{U}{\varphi} (\varphi - f(z)) \quad (1)$$

ここに、 $U = U_0 \cos \omega t$: 水深 h 間の平均流速、 $\varphi = \frac{|U|}{U_*}$: 流速係数、 U_* : マサツ速度
運動量輸送と質量輸送の Similarity を仮定すれば、乱流拡散係数は次のようになる。

$$\epsilon = - \tau / \rho \frac{\partial u}{\partial z} = - m / \frac{\partial C}{\partial z} \quad \text{より} \quad \epsilon = \frac{|U|}{\varphi} S_h / \frac{\partial f}{\partial z} \quad (2)$$

ただし、 τ : 流体のせん断応力、 ρ : 流体の密度、 m : 水深方向の物質輸送量、 C : 濃度拡散方程式は、流れ方向の拡散と水深方向の拡散に比べて無視すれば、

$$\frac{\partial C}{\partial z} + u \frac{\partial C}{\partial x} = \frac{\partial}{\partial z} (\epsilon \frac{\partial C}{\partial z}) \quad (3)$$

ここで、 $x_1 = x - \int_0^t U dt = x - \frac{U_0}{\omega} \sin \omega t$ とおき、 (x, z, t) から (x_1, z, t) へ座標変換すると
 $\frac{\partial C}{\partial z} - \frac{U_0}{\varphi h} \frac{\partial C}{\partial x_1} \cos \omega t = \frac{U_0}{\varphi h} |\cos \omega t| \frac{\partial}{\partial z} \left(\frac{5}{4} f \frac{\partial C}{\partial z} \right)$ (4)

Taylor や Elder の方法に習って、 $\frac{\partial C}{\partial x_1} = \alpha = \text{const.}$ と考え、濃度分布を近似的に次のように仮定する。

$$C = C_0 + \alpha x_1 + \alpha h (\psi(z) + \lambda) (\tau \cos \omega t + \sigma \sin \omega t) \quad (5)$$

$$\text{ただし. } \psi(z) = \psi_0 - \int_0^z \frac{5}{4} f^2 dz, \quad \int_0^z \psi dz = 0 \quad (6)$$

λ, τ, σ : 定数

(4) を水深方向で積分し、(5), (6) を考慮すれば、

$$\int_0^z \frac{\partial C}{\partial z} dz = 0 \quad \text{より} \quad \lambda = 0 \quad (7)$$

(4) に τ をかけて水深方向で積分すると

$$\int_0^z f \frac{\partial C}{\partial z} dz - \frac{U_0}{\varphi} \alpha \cos \omega t \int_0^z f^2 dz = \frac{U_0}{\varphi h} |\cos \omega t| \int_0^z f \frac{\partial}{\partial z} \left(\frac{5}{4} f \frac{\partial C}{\partial z} \right) dz \quad (8)$$

(8) は (5), (6) を代入し, $\frac{q\pi\omega \int_0^{\frac{1}{2}\Omega} f \psi d\zeta}{4L_0 \int_0^{\frac{1}{2}\Omega} f^2 d\zeta} = \Omega$ とおき, $|cos\omega t| |cos\omega t| + |cos\omega t| |sin\omega t|$ を Fourier 級数に展開して係数を比較すると,

$$\Omega \zeta - 1 = -\frac{8}{3\pi} \zeta, \quad -\Omega \zeta = -\frac{4}{3\pi} \zeta \quad \text{より}, \quad \zeta = \frac{12\pi}{32+9\pi^2\Omega^2}, \quad \Omega = \frac{9\pi^2\Omega}{32+9\pi^2\Omega^2} \quad (9)$$

(5) は (7), (9) を代入して,

$$C = C_0 + \alpha (x - \frac{L_0}{\omega} sin\omega t) + \frac{12\pi}{32+9\pi^2\Omega^2} \alpha \cdot \psi (cos\omega t + \frac{3\pi}{4} \Omega sin\omega t) \quad (10)$$

流れ方向単位断面積当たりの物質輸送量 \bar{J} の一周期の平均 \bar{J} は,

$$\bar{J} = \frac{\omega}{2\pi} \int_0^{\frac{1}{2}\Omega} \left\{ \frac{1}{\pi} \int_0^L (U - U) C dz \right\} dt = -\frac{L_0}{q} \frac{6\pi}{32+9\pi^2\Omega^2} \alpha \cdot \psi \int_0^L f \psi d\zeta \quad (11)$$

このことから, 流れ方向のみかけの拡散係数 K_L は, $\bar{J} = -K_L \frac{\partial C}{\partial x}$ より.

$$K_L = \frac{2}{\pi} \frac{L_0 \psi}{q} \frac{3\pi^2}{32+9\pi^2\Omega^2} \int_0^L f \psi d\zeta \quad (12)$$

一方, Elder の理論より, 定常流の場合に相当するみかけの拡散係数 K_{LS} は,

$$K_{LS} = \frac{L_0 \psi}{q} \int_0^L f \psi d\zeta = \frac{2}{\pi} \frac{L_0 \psi}{q} \int_0^L f \psi d\zeta \quad (13)$$

となりなければならぬので, (12)において, $\omega = 0$ ($\Omega = 0$) とおいたとき, (13) に一致するよう K_L を改めて次のよう にあく。

$$K_L = \frac{2}{\pi} \frac{L_0 \psi}{q} \left(1 + \frac{3\pi^2}{32} \Omega^2 \right)^{-1} \int_0^L f \psi d\zeta = K_{LS} \left(1 + \frac{9\pi^2}{32} \Omega^2 \right)^{-1} \quad (14)$$

また, 流れ方向の乱流拡散係数か水深方向のそのに等しいとするとき, 流れ方向の拡散係数 K_* は,

$$K_* = \int_0^L \epsilon dz = \frac{2}{\pi} \frac{L_0 \psi}{q} \int_0^L \frac{5}{48} dz \quad (15)$$

ここで流速分布として, 対数分布を用いる。

$$f = -\frac{1}{\kappa} (1 + \log(1 - S)) \quad \kappa: \text{Kármán 常数} = 0.410 \quad (16)$$

$$\psi = \frac{1}{\kappa^2} \left(1 - \frac{\pi^2}{8} - \int_0^S \frac{5}{4} \log(1 - S) dz \right) = \frac{1}{\kappa^2} \left(1 - \frac{\pi^2}{8} + \sum_{n=1}^{\infty} \frac{5^n}{n^2} \right) \quad (17)$$

$$\int_0^L f \psi dz = 5.86, \quad \int_0^L f^2 dz = 5.95, \quad \int_0^L \frac{\psi}{dz} dz = \frac{K}{L} = 0.068 \quad (18)$$

またストローク (流体粒子が半周期の間に動く平均距離) $S = \frac{2L_0}{\omega}$ を用いて, Ω を書きかえると,

$\Omega = 1.97 \frac{qA}{S}$ となる。 $K = K_L + K_*$ とおき, (14), (15) にそれぞれ (16)～(18) を代入すると,

$$K = \frac{2}{\pi} \frac{L_0 \psi}{q} \left\{ 5.83 \left(1 + 10.8 \left(\frac{qA}{S} \right)^2 \right)^{-1} + 0.068 \right\} \quad (19)$$

§3. 川幅方向の拡散を考えたときの拡散係数 川幅方向の乱流拡散係数を已ヒレ, 流れ方向 (x 方向) の拡散と川幅方向 (y 方向) の拡散に比べて無視すれば, 拡散方程式は次のよう になる。

$$h \frac{\partial C_1}{\partial z} + g \frac{\partial C_1}{\partial x} = \frac{\partial}{\partial y} (h e^{\frac{\partial C_1}{\partial y}}) \quad (20)$$

$$\text{ただし}, \quad C_1 = \frac{1}{\pi} \int_0^L C dz, \quad g = \int_0^L u dz$$

ここで $x_1 = x - \frac{1}{\pi} \int_0^y g dy$, $\langle g \rangle = \frac{1}{W} \int_0^W g dy$, W : 川幅, $g' = g - \langle g \rangle$ とおくと (21) は,

$$h \frac{\partial C_1}{\partial z} + g' \frac{\partial C_1}{\partial x_1} = \frac{\partial}{\partial y} (h e^{\frac{\partial C_1}{\partial y}}) \quad (21)$$

定常流についての濃度分布及びみかけの拡散係数は, Tischer の理論によれば, 次のよう である。

$$C_1 = C_0 + \alpha x_1 + \alpha Y(y) \quad \alpha = \frac{\partial C_1}{\partial x_1} = \frac{\partial C}{\partial z} = \text{const.} \quad (22)$$

上わけば, Taylor 流り方法で, y 方向の濃度分布 $Y(y)$ は次のよう になる。

$$Y = Y_0 + \int_0^y \frac{1}{\pi} \int_0^z g' dz dy, \quad \frac{1}{A} \int_0^W Y h dy = 0 \quad (23)$$

また、断面積 A を通して流れ方に輸送される物質量 J は,

$$J = \int_0^W g' C_1 dy = \alpha \int_0^W g' \int_0^z \frac{1}{\pi} \int_0^y g' dz dy dy \quad (24)$$

したがって、みかけの拡散係数 K_{LS} は, $J = -A K_{LS} \frac{\partial C}{\partial x}$, $\frac{\partial C}{\partial x} = \alpha$ より。

$$K_{AS} = -\frac{1}{A} \int_0^W g' \int_0^y \frac{1}{\pi e} \int_0^x g' dy dx dy \quad (25)$$

また、Fischer は川幅方向の乱流拡散係数 ϵ を用いて、Elder の文献と実験から次の値を用いている。

$$\epsilon = 0.23 R_{H*} \quad (26)$$

次に、周期的流れの場合の濃度分布とオカケの拡散係数を求める。一潮流時間の最大値に満足する ϵ を用いて表わし、 $g' = g'_0 \cos \omega t$, $\epsilon = \epsilon_0 / (200 \omega t)$, $z(z)$ に代入すると、

$$\frac{\partial C_1}{\partial z} + g'_0 \frac{\partial C_1}{\partial x} \cos \omega t = \frac{\partial}{\partial y} (\epsilon_0 \frac{\partial C_1}{\partial y}) \cos \omega t \quad (27)$$

$$z = z^*, \quad C_1 = C_0 + \alpha x_1 + \alpha (Y(y) + \lambda) (\gamma \cos \omega t + \delta \sin \omega t) \quad (28)$$

$$\frac{\partial C_1}{\partial z} = \alpha = \text{const.}, \quad \lambda, \gamma, \delta, \alpha : \text{定数}$$

とおき、(27) を川幅方向について積分すると、

$$\int_0^W g'_0 \frac{\partial C_1}{\partial z} dy = 0 \quad \Rightarrow \quad \alpha = 0 \quad (29)$$

また、(27) に g'_0 をかけ川幅方向について積分すれば、

$$\int_0^W g'_0 \frac{\partial C_1}{\partial x} dy + \alpha \cos \omega t \int_0^W (g'_0)^2 dy = 100 \omega t \int_0^W g'_0 \frac{\partial}{\partial y} (\epsilon_0 \frac{\partial C_1}{\partial y}) dy \quad (30)$$

$$(30) \text{ に (28), (29) を代入し, } \Delta Q = \frac{\omega_0 \int_0^W g'_0 Y dy}{\int_0^W (g'_0)^2 dy} \text{ とおいて整理すると,}$$

$$(\Delta Q \gamma + 1) \cos \omega t - \Delta Q \delta \sin \omega t = 100 \omega t (\gamma \cos \omega t + \delta \sin \omega t) \quad (31)$$

$|\cos \omega t| / |\cos \omega t| \ll 1$, $|\cos \omega t| \sin \omega t$ を Fourier 級数に展開し、係数を比較すると

$$\Delta Q \gamma + 1 = \frac{8}{3\pi} \gamma, \quad -\delta \Delta Q = \frac{4}{3\pi} \delta \gamma \text{ より, } \gamma = \frac{12\pi}{32 + 9\pi^2 \Delta Q^2}, \quad \delta = \frac{9\pi^2 \gamma^2}{32 + 9\pi^2 \Delta Q^2} \quad (32)$$

(28) に (29), (32) を代入すれば、濃度分布 C_1 が次のように得られる。

$$C_1 = C_0 + \alpha x_1 + \alpha Y(y) \frac{12\pi}{32 + 9\pi^2 \Delta Q^2} (\cos \omega t - \frac{3\pi}{4} \Delta Q \sin \omega t) \quad (33)$$

流れ方向の物質輸送量 J の一周期の平均 \bar{J} は、

$$\bar{J} = \alpha \frac{6\pi}{32 + 9\pi^2 \Delta Q^2} \int_0^W g'_0 Y(y) dy \quad (34)$$

したがって、オカケの拡散係数 K_{AS} は、

$$K_{AS} = -\frac{1}{A} \frac{3\pi^2}{32 + 9\pi^2 \Delta Q^2} \int_0^W g'_0 Y(y) dy \quad (35)$$

一方、定常流の場合に相当するオカケの拡散係数 K_{AS} は、

$$K_{AS} = -\frac{1}{A} \int_0^W \frac{g'_0}{\pi} Y(y) dy \quad (36)$$

これを用いた場合の \bar{J} , (35) で $\omega = 0$ ($\Delta Q = 0$) とおいたと \pm (36) (2-式) とよび (2), (35) を書きかえると

$$K_{AS} = -\frac{1}{A} \frac{32}{32 + 9\pi^2 \Delta Q^2} \int_0^W \frac{g'_0}{\pi} Y(y) dy = K_{AS} \left(1 + \frac{9\pi^2}{32} \Delta Q^2 \right)^{-1} \quad (37)$$

$z = z^*$, 流速公式とレーナンダ式を用い、最大水深 H を用いて水深を無次元化し、川幅の半分 B を用いて半分を無次元化すれば、オカケの拡散係数は、次のようになる。

$$K_L = K_{AS} \left\{ 1 + \mu \left(\frac{qB^2}{HS} \right)^2 \right\}^{-1}, \quad \mu = \frac{9\pi^2}{32} \left\{ \frac{2 \int_0^2 \beta (\beta^{\frac{1}{2}} - \langle \beta^{\frac{1}{2}} \rangle) \int_0^2 \beta^{-\frac{1}{2}} (\beta^{\frac{1}{2}} - \langle \beta^{\frac{1}{2}} \rangle) d\beta d\eta}{0.23 \int_0^2 (\beta^{\frac{1}{2}} - \langle \beta^{\frac{1}{2}} \rangle)^2 d\beta} \right\}^2 \quad (38)$$

ただし、 K_{AS} は、定常流に相当する拡散係数であり、次のようにある。

$$K_{AS} = \frac{2}{\pi} q L \frac{B^2}{H} \delta, \quad \delta = \frac{1}{0.23 \times \rho} \int_0^2 (\beta^{\frac{1}{2}} - \langle \beta^{\frac{1}{2}} \rangle) \int_0^2 \beta^{-\frac{1}{2}} (\beta^{\frac{1}{2}} - \langle \beta^{\frac{1}{2}} \rangle) d\beta d\eta \quad (39)$$

$$z = z^*, \quad S = \frac{2L}{\rho}, \quad U_0 = \frac{1}{m} H^{\frac{3}{2}} I^{\frac{1}{2}}, \quad q = \frac{U_0}{\sqrt{H} I}, \quad \rho = \frac{\rho}{H}, \quad \eta = \frac{\eta}{B}, \quad \langle \beta \rangle = \int_0^2 \beta d\eta$$

また、 δ, μ は断面形状によって求められる $11.9 \times 1 - 2$ より、例えば、三角形断面について $\delta = 1.64$, $\mu = 3.21$, 放物形断面については $\delta = 0.474$, $\mu = 4.47$ となる。また、複数の断面形状では、 μ の値はそれ程変化しないことがある。

§4. 理論の検討と考察 水深方向の拡散を考慮した拡散係数と川幅方向の拡散を考慮したものとの比較について、定常流の拡散係数としては、(13)と(39)において $\frac{K_L}{K_{LS}} = \frac{4\pi}{9} \frac{B^2}{H}$ が対応しており、普通の河川特に河口部を考えると、後者の方がはるかに大きい拡散係数を与える。次に周期的流れの影響を比較すると、(19)と(38)において $\frac{S}{gH}$ と $\frac{HS}{gB^2}$ とか対応している。 $S=10\text{cm}$, $g=15$, $H=1\text{m}$, $B=200\text{cm}$ とすれば $\frac{S}{gH} = 10^3$, $\frac{HS}{gB^2} = 0.08$ となり、前者の考え方では拡散係数は定常流に相当するものとはほとんど等しく、後者の方では定常流に相当するものの 10^3 程度となる。以上のことから、前回まで報告して来たよな、周期的流れのストローフの影響か、川幅方向の拡散を考える際には著しく大きいと考えられる。では、この考え方を筑後川における塩分侵入の数値計算に適用してみよう。断面上で 6km 地点干潮時のもの (図-2 参照) を用いれば、 $H=5\text{m}$, $B=200\text{m}$, $g=15$, $\frac{2}{\pi} U_0 = 0.5 \text{ m/sec}$ で $K_{LS} = 10^4 \sim 10^5 \text{ m}^2/\text{sec}$, $K_L = 10 \sim 10^2 \text{ m}^2/\text{sec}$ 程度の値が理論より推定される。一方、実際の塩分侵入計算例においては、6km 地点でみかけの拡散係数としては約 $17 \text{ m}^2/\text{sec}$ とすれば実測結果が最もよく説明されることが示されている。⁴⁾したがって両者はオーダー的には一致している。このことから、実際の河川についても、流れ方向のみかけの拡散係数に、流れが周期的であることの影響が著しく表われているものと考えられる。しかし、流れが周期的であることの影響を表わす K_L/K_{LS} の近似式は、 K_L/K_{LS} の小さい範囲ではあまり近似度がよくななります。今後検討すべきある。

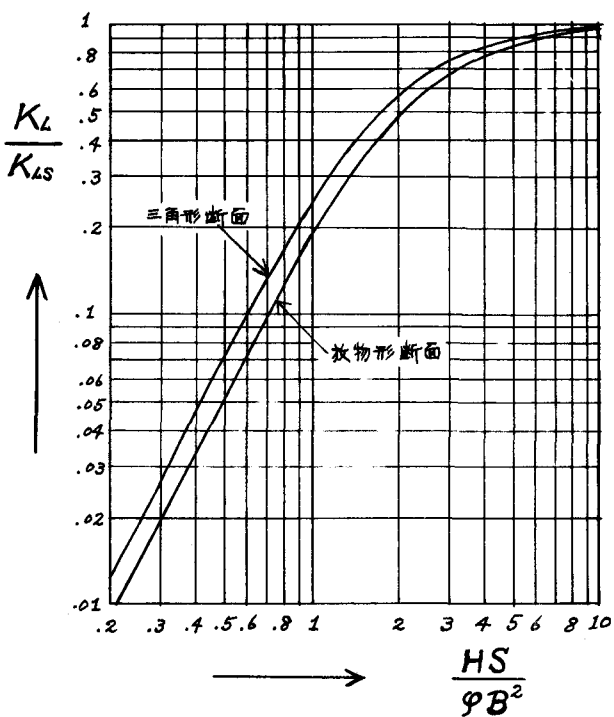


図-1. ストローフと拡散係数の関係

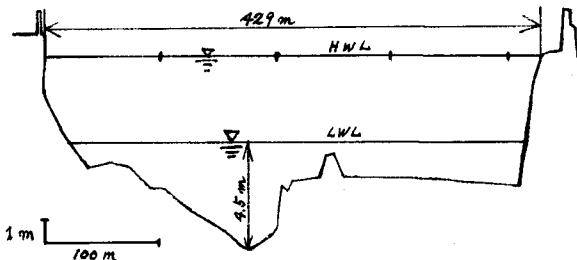


図-2. 筑後川 6km 地点の断面形状

- 参考文献 1) Taylor, G.I. 1954. Proc. Roy. Soc. A. Vol. 223, p.446~468.
 2) Elder, J.W. 1959. J. Fluid Mech. 5. p.544~560
 3) Fischer, H.B. 1967. 12th Congress of the I.A.H.R. D2. p.11~19.
 "Analytic Prediction of Longitudinal Dispersion Coefficients in Natural Streams"
 4) 横谷, 古本, 昭和43年度土木学会西部支部研究発表会論文集 III-9.